在高氯酸溶液中Rh(II)和 Ir(II)的 离子交换行为及分离的研究

何寿椿 周维金 江林根* (北京大学技术物理系)

本文研究了在高氯酸溶液中, $Rh(H_2O)$ 。†和 $Ir(H_2O)$ 。†在强酸性阳离子交换树脂上的行为,侧得在不同酸度的高氯酸溶液中 $Rh(H_2O)$ 。†和 $Ir(H_2O)$ 。†的分配比。分别侧得 $Rh(H_2O)$ 。†和 $Ir(H_2O)$ 。†*在柱上的洗脱曲线和分离曲线,讨论了在高氯酸中 $Rh(\mathbb{Z})$ 和 $Ir(\mathbb{Z})$ 分离的可能性。

关键词: 铑 铱 离子交换 分离

前 言

贵金属的离子交换分离纯化,已有许多研究。S. J. AL-Bazi和A. Chow (1)的评述作了较全面的总结。从所列资料可见,对于铑与其他铂族元素的离子交换分离,大多利用铑及其他铂族元素的离子在水溶液中容易形成配位化合物,根据配离子的 电 荷 差 别或在离子交换树脂上的分配比差别进行分离。W. M. MacNeven 和 Mckay(2)首先利用了在适当条件下Rh(\blacksquare)可以形成Rh(H_2O) $_0^8+$,而其他铂族元素如Pt、Pd、Ir在氯离子存在时只能形成 MCI $_2^{*-8}$ (M 代表铂族元素,X 为其氧化态),用阳离子交换树脂可将Rh与Pt、Pd、Ir分离。但由于铂族元素容易形成多核配合物,而且当溶液中CI-离子浓度较大时,

 $Rh(H_2O)_6^{3+} + 6C1^- \longrightarrow RhC1_6^{3-} + 6H_2O$

反应的速度将加快 $(^8)$,总难免有 $(RhCl_{8-x}(H_2O)_x)^{8-x}(x:1-6)$ 产生。 所以实际上很难做到Rh与Pt、Pd、Ir的完全分离。尤其是Rh与 Ir在溶液中的行为极其相似,两者的分离难度就更大些。为了研究真正的 $Rh(H_2O)_8^{3+}$ 和 $Ir(H_2O)_8^{6+}$ 的离子交换行为,并寻找制备纯 $Rh(H_2O)_8^{6+}$ 的条件,采用高氯酸作介质进行研究。

实验部分

一. 试剂与仪器

金属铑粉、铱粉,本实验室提纯,经光谱分析纯度优于99.9%。

本文于1985年11月11日收到。

*本系81届毕业生陈先参加了部分实验工作。

192 Ir核素, 北京原子能研究院提供。

强酸性阳离子交换树脂,交联度 8 %, 粒度150—200目,核工业部北京第五研究所提供。

高氯酸,盐酸,氯化亚锡,氢氧化钠均为北京化工厂产品,分析纯。

UV-240紫外可见分光光度计, 日本岛津制作所。

井形γ单道探测仪,核工业部北京综合仪器厂。

pHs-73型酸度计,天津永红仪器厂。

二. 实验方法

铑、铱溶液的配制:

Rh(H_2O)%+溶液的配制:金属铑粉与过量 10 倍的焦硫酸钾在瓷坩埚中混合,在马弗炉中650℃熔融 5 小时,冷却后熔块溶于蒸馏水中。加NaOH溶液调至pH为12,生成黄色Rh(OH)。沉淀,在 60 ℃陈化一小时,过滤洗净 Cl⁻ 离子,沉淀溶于高氯酸中,即得含 Rh(H_2O)%+溶液。在UV-240上测得吸收曲线 1 (图 1)。

Ir(H₂O)⁸⁴溶液的配制:金属铱粉与过量20倍的Na₂O₂在镍坩埚中混合,在马弗炉中加热到700℃共熔5小时,熔块用盐酸溶解。溶液加热煮沸2小时,调pH至1左右,用HDEHP——煤油溶液(0.6M,80%皂化)萃取除去从镍坩埚溶解的镍。水相用NaOH调pH至12,通Cl₂,得Ir(OH)₃沉淀,过滤洗涤到无Cl⁻离子,沉淀溶于高氯酸,即得含Ir(H₂O)⁸⁸⁴溶液,在UV—240上测得吸收曲线2(图1)。在测交换容量和洗脱曲线前需在溶液中加入用同样方法处理的含¹⁸²Ir的溶液。

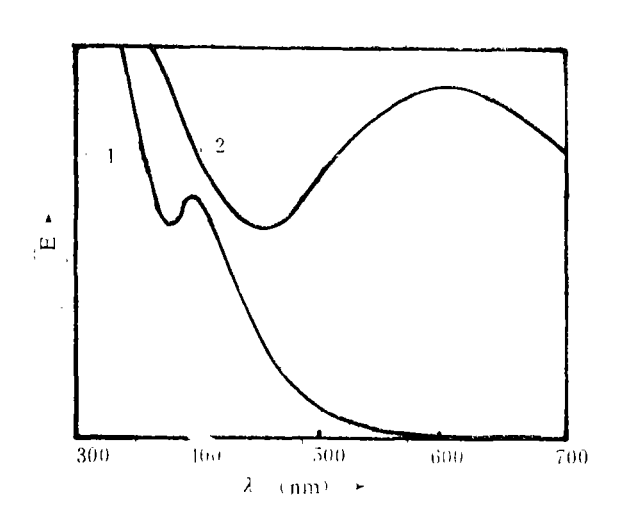


图 1 Rh(H₂O)³⁺和Ir(H₂O)³⁺的电子吸收谱 1-Rh(H₂O)³⁺, 2-Ir(H₂O)³⁺(在0.8MHClO₄中)

Fig.1 Electron absorption spectra $1 - Rh(H_2O)^{3+}$, $2 - Ir(H_2O)^{3+}$ (in 0.8M $+ ClO_4$)

Rh(H,O)計滴定曲线的测定:

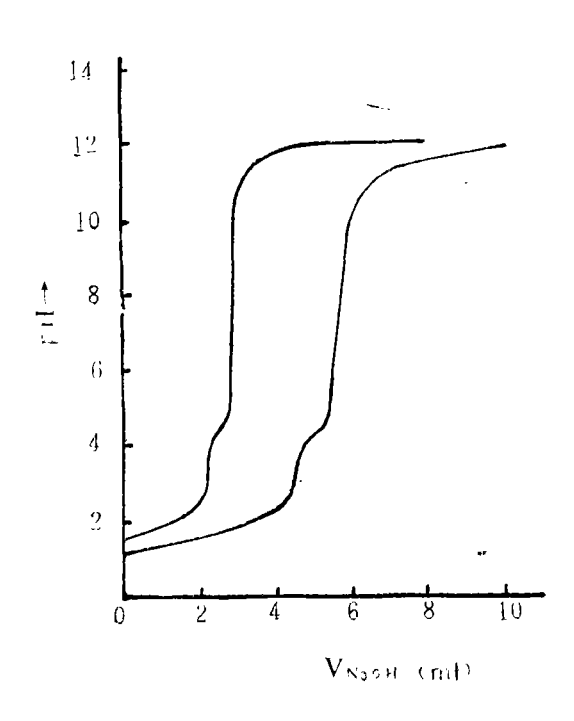


图 2 Rh(H2O) 2*的滴定曲线

NaOH: 0.218M; 1-Rh:5.78mg; 2-Rh:12.56mg

Fig. 2 Titration curves of Rh(■) in perchloric acid solution with 0.248M NaOH, 1—Rh:5.78mg 2—Rh:12.56mg

Rh(H₂O)[§]*和Ir(H₂O)[§]*有阳离子交换树脂上平衡时间的测定。

Rh(H₂O)%*的平衡时间测定: 称取经 60—70℃ 干燥六小时的氢式阳离子 交 换 树脂若干份,每份0.5克,置磨口平衡管中,每份中加入铑浓度为4.5毫克/毫升的溶液3.0毫升,再加入3.0毫升 0.8 MHClO₄。在机械震荡器上摇震。间隔一段时间取出一份,用分光光度法测定水相中铑的含量。作单位重量树脂吸附铑的量对时间的曲线,见图 3 (1)。

 $Ir(H_2O)_*^3$ 的平衡时间的测定。方法同铑。Ir的测量用 ^{192}Ir 核素,只测水相中的 9 放射性,作图,见图 3 (2)。

Rh(H2O)3+和Ir(H2O)3+在阳离子交换树脂上分配比的测定:

商定了平衡所需时间后,用同样方法,在几支平衡管内称好树脂,加入铑的量最后为2.25毫克/毫升和1.50毫克/毫升。高氯酸的浓度为6.0、4.0、2.0、1.0、0.5和0.1 W。在室温下震荡 3 小时,分析平衡水相中铑的含量。按照下列公式计算分配比⁽⁴⁾。

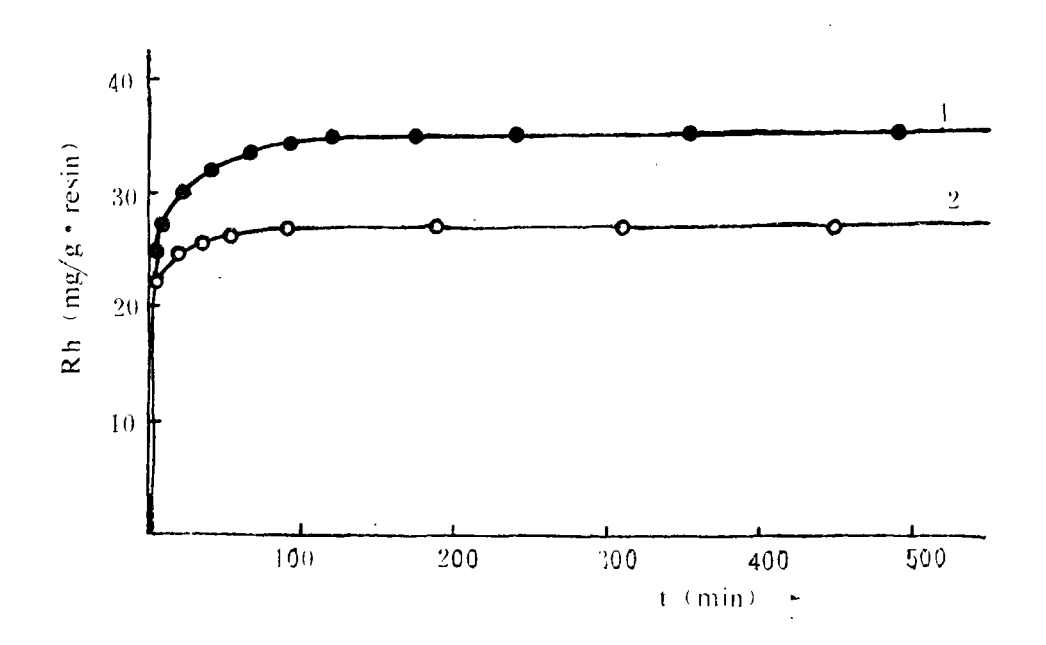


图 3 Rh(H₂O) %+和Ir(H₂O) %+的平衡时间 1—Rh(H₂O) %+, 2—Ir(H₂O) %+ Fig. 3 Equilibrium time of Rh(H₂O) %+ and Ir(H₂O) %+ 1—Rh(H₂O) %+, 2—Ir(H₂O) %+

Kd 树脂吸附的铑(克)/干树脂重(克) 溶液中存留的铑(克)/溶液体积(毫升)

Ir(H₂O)³⁺的分配比测定法同铑。分析方法同前。

柱上操作方法

Rh(H₂O)⁸,* 的 洗脱曲线和回收率测定: 称取 5 克氢式干树脂,加水溶胀后,装入玻璃管中,形成直径×高=18毫米×45毫米的柱子(截面积为 2.54 厘米²,柱体积11.5 厘米⁸),用水洗至中性。渺洗脱曲线时在床顶部小心加入4.0毫升、铑浓度为4.57毫克/毫升的溶液,调节流速为1.5毫升/分(直线速度为 0.6 毫升/厘米²/分)依次用45毫升 2 MHC1O₄和25毫升 6 MHC1O₄洗脱,最后用16毫升6 MHC1解吸Rh³⁺(图 4)。测Rh³⁺的回收率用同一根柱子。用 6 M HC1 充分洗柱,然后用水洗至中性,从柱顶加入 10 毫升、铑浓度为4.57毫克/毫升、0.8MHC1O₄的溶液。流速同前。先用40毫升 6 MHC1O₄洗脱,然后改用40毫升 6 MHC1O₄洗脱,分别收集于50毫升容量瓶中测回收率。

Ir(H_2O) ³ + 的洗脱曲线: 同上面同一根柱子,转成氢式后,用水洗至中性。从柱顶加4.0毫升用 ¹⁸² Ir 标记的 Ir(H_2O) ³ + 2 MHClO₄溶液,调节流速同前,用56毫升 2 MHClO₄洗脱,每份收集 1 毫升,最后用 6 MHCl洗柱(图 4)。

以上各步中铑的含量测定均用氯化亚锡比色法[6]。

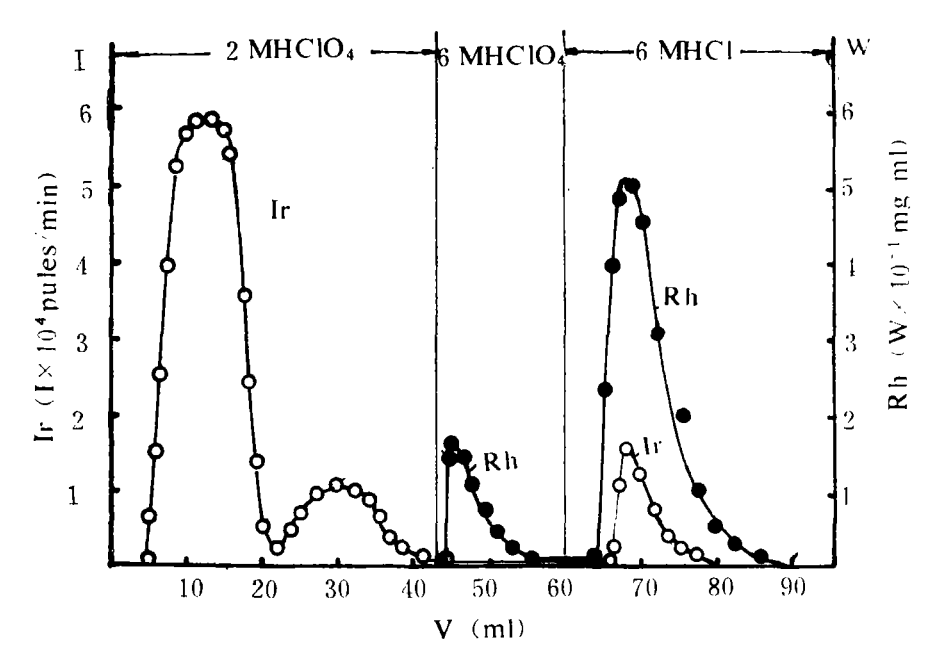


图4 Rh(H₂O)3+和Ir(H₂O)3+的洗脱曲线 (每中Ir含量1×10⁴脉冲/分和当Ir约为0.1mg/ml) Fig.4 Elution curves of Rh(H₂O)3+ and Ir(H₂O)3+ (Ir: 1×10pulse/min correspond to 0.1mg/ml)

结果与讨论

- 1. 在高氯酸溶液中由于不存在其他配位基, Rh(圓)和 Ir(圓) 均 以简单的水合物 Rh(H₂O); **和Ir(H₂O); **形式存在。从两者的电子吸收光谱可以得到证实。Rh(H₂O); **在396nm处, Ir(H₂O); **在586nm处各有一特征吸收峰(图1)。
- 2. 从平衡与时间关系曲线可以看出,Rh(H₂O)⁸⁸ 和 Ir(H₂O)⁸⁸ 在阳离子交换树脂上的交换反应速度相当快。40分钟即可达到平衡交换容量的90 %以上,120分钟达到96%,但要达到平衡则要 8 小时以上。实验测得 Rh³ + 在所采用的阳离子交换树脂上交换容量为33.5毫克/克干树脂(约为1.0毫克当量/克干树脂),比理论交换容量1.5毫克当量/克干树脂略小,这可能与溶液中有0.8M的H⁺有关。Ir³ +的交换容量因用放射性示踪法相对测量故未能求出。
- 3. 从图 2 铑的滴定曲线看出,当溶液中 Rh(Ⅱ) 的含量不同时所得曲线相对横轴的位置也不同。曲线 2 所代表的含 Rh(Ⅱ) 量为曲线 1 的二倍,其位置也相应向右移动一定距离。两条曲线在pH 2 4 之间有第一个突跃点,这是因为Rh(Ⅱ)溶液中存在一定量的游离高氯酸。pH> 4 后,Rh(Ⅱ)形成Rh(OH)。沉淀,到pH = 10左右Rh(OH)。沉淀完全。从第一个突跃和第二个突跃间所消耗的标准 NaOH 量可以算出 Rh(Ⅱ)所带电荷数目。

曲线 1 生成 Rh(OH) 3 所消耗的 NaOH 体积, 从图上两个突跃间的距离看出为0.70

毫升,

OH-的毫摩尔数为0.70×0.248=0.174mmol

1 毫升Rh(■)溶液中 Rh的毫摩尔数为 5.78 = 0.056m mol

则
$$\frac{OH^-的m \text{ mol}}{Rh的m \text{ mol}} = \frac{0.174}{0.056} = 3.1$$

曲线 2 生成Rh(OH)₃所消耗的NaOH体积为1.32毫升,OH⁻的毫摩尔数为1.32×0.248=0.327 mmol

2 毫升Rh(■)溶液中 Rh的毫摩尔数为 ^{2×5.78} = 0.112m mol

$$\frac{OH^-$$
的m mol}{Rh的m mol} = \frac{0.327}{0.112} = 2.9

计算结果表明Rh(■)在HClO₄中所带正电荷数约为 3 , 存在形式应为Rh(H₂O)³⁺(以上计算中NaOH的浓度为 0.248M, Rh的原子量为 103)。

4. 由高氯酸浓度对分配比影响所得数据列于表1中。由此数据可得图5。

表 1 酸度对分配比的影响

Table 1 Influence of Acidity on Distribution Ratio

| | HCIO4(N | (I) | 6 | 4 | 2 | 1 | 0.5 | 0.1 |
|----|---------------|------------|------|------|-------|-------|------|------|
| | 2.25 mg/m1 | Кd | 26.4 | 45.5 | 91.2 | 159.8 | 213 | 201 |
| | | Lg Kd | 1.42 | 1.66 | 1.96 | 2.20 | 2.33 | 2.31 |
| Rh | 1.50 mg/m1 | Kd | 29.9 | 63.0 | 116.5 | 265.2 | 738 | 631 |
| | | Lg K d | 1.17 | 1.80 | 2.07 | 2.42 | 2.86 | 2.80 |
| | ···· | Kd | 27.8 | 25.7 | 27.3 | 29.5 | 31.3 | 33.6 |
| | Ir | Lg Kd | 1.44 | 1.41 | 1.44 | 1.47 | 1.49 | 1.52 |

由lgKd—[H+]曲线可以看出: (1)酸度对铑的分配比影响较大,对 Ir 的分配比影响较小; (2)即使在 6 MHClO₄中,分配比也相当大,说明 Rli³⁺和 Ir³⁺的高正电荷起着重要作用。此时可能裸离子Rh³⁺和Ir³⁺的比例增加了。酸度对Rh和 Ir 的分配比的影响在低酸度时差别较大。这提供了在该条件下用适当的阳离子交换柱分离 Rh和 Ir 的可能性。

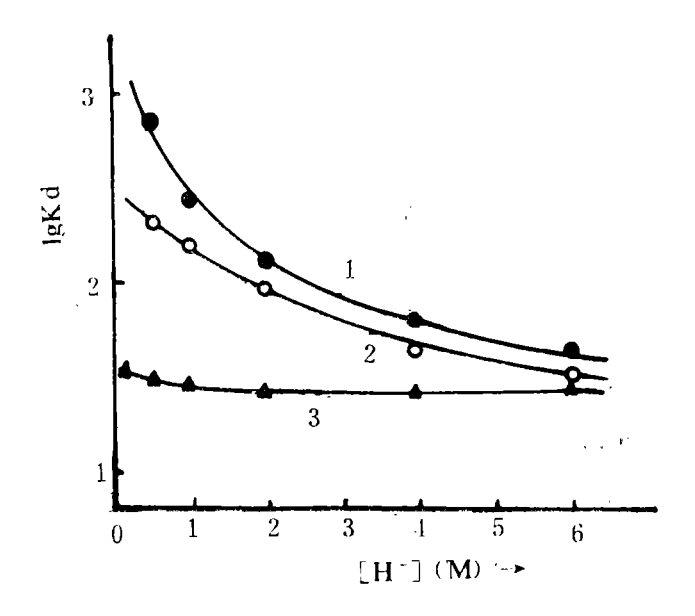


图 5 不同酸度下Rh和Ir的分配比

1. Rh = 2.25mg 2. Rh = 1.50mg 3. Ir: 3.7×10^5 脉冲/分 Fig. 5 Distribution ratio of Rh and Ir in various acidity 1. Rh = 2.25mg 2. Rh = 1.50mg 3. Ir: 3.7×10^5 pulse/min

5. 柱式操作结果

从Rh(H2O)³+和Ir(H2O)³+的洗脱曲线求得Rh和Ir的回收率列于表2中。

表 2 Rh(H_2O) $\frac{1}{6}$ ⁺和 $Ir(H_2O)\frac{1}{6}$ ⁺的回收率 Table 2 Recovery Ratio of Rh(H_2O) $\frac{1}{6}$ ⁺ and $Ir(H_2O)\frac{1}{6}$ ⁺

| | total amoun | t of Rh 47.5mg | total pulse of 1r: 7.6×10 ⁵ time/min | | |
|----------------------|--------------------------|----------------|---|---------------------|--|
| eluant | 40m1 6MHClO ₄ | 40m1 6MHC1 | 56ml 6MHClO4 | 20ml 6MHC1 | |
| elution amount | 2.63mg | 39.05mg | 7.2×10 ⁵ time/min | 4.4×104 time/min | |
| recovery ratio | 5.75 | 85.4 | 94.7 | 5.8 | |
| total recovery ratio | 91.1 | 15 | 100.5 | | |

结果说明在同样的洗脱条件下Rh较 Ir 更难从树脂上解吸下来。即使用 6 MHC10√也只能解吸约 6 %的 Rh。而Ir则可有约 95 %被洗脱。这种差别将是可利用的。大部分 Rh (85 %以上)要用 6 M HC1 才可解吸,这主要是利用 C1 的 配 位作用改变了柱上 Rh(■)的配位状态,使正电荷减少,降低了 Rh(■)在柱上的吸附能力。Ir(■)也 有极少部分 (6 %左右)必须用 6 MHC1方可将其洗出,这部分将会混入用 6 MHC1洗脱的 Rh(■)中,另外,Ir(■)在用 2 M HC10√洗脱中出现两个峰。第二个峰估计 可 能 是

Ir(■)的多核配合物。有待作进一步研究。

结 论

在高氯酸溶液中Rh(\blacksquare)和Ir(\blacksquare)以Rh(H_2O)%+和Ir(H_2O)%+形式存在。在强酸性阳离子交换树脂上有较大的分配比和较快的反应速度。由于在低酸度时 Rh(H_2O)%+和Ir(H_3O)%+的分配比相差较大,有可能在该条件下,用较低酸度的高氯酸(比如 2 MHClO₄)将Rh和Ir从阳离子交换柱上洗脱。

参考文献

- [1] AL-Bazi, S. J. and Chow, A., Talanta, 31 (104), 815-836 (1984).
- [2] MacNevin, W.M. and Mckay, E.S., Anal. Chem., 29 (8), 1220-1223 (1957).
- [3] Wolsey, W. C. et al., Inorg. Chem., 2(3), 463-468 (1963).
- [4] Weinert, C. H. W. and Strelow, F. W. E., Talanta, 30(10), 755-760 (1983).
- (5] Ayres, G. H. et al., Anal. Chem., 27 (11), 1742~1714 (1955).
- [6] Brajter, K. et al., Talanta, 27(3), 433~135(1980).

STUDY OF BEHAVIOUR OF CATION EXCHANGE AND SEPARATION OF Rh(II) AND Ir(II) IN PERCHLORIC ACID

He Shouchun Zhou Weijin Jiang Lingen

(Department of Technical Physics, Beijing University)

In this paper, the behaviour of cation exchange of $Rh(H_2O)_6^{3+}$ and $Ir(H_2O)_6^{3+}$ in perchloric acid has been studied and the distribution ratio of $Rh(H_3O)_6^{3+}$ and $Ir(H_2O)_6^{3+}$ in various concentrations of perchloric acid has been determinated. The elution curves and the separation curves of $Rh(H_2O)_6^{3+}$ and $Ir(H_2O)_6^{3+}$ on cation exchange column were obtained respectively. The possibility of separation of Rh(III) and Ir(III) in perchloric acid has been discussed.

Keywords rhodium iridium ion exchange separation